

## МОДЕЛИРОВАНИЕ ЛОКАЛИЗАЦИИ ОН<sup>-</sup>-ГРУПП В КУБИЧЕСКОЙ ФАЗЕ КРИСТАЛЛОВ BaTiO<sub>3</sub>

© 2012 г. А. В. Яценко, А. А. Яценко

Таврический национальный университет, Симферополь, Украина  
E-mail: lab2@crimea.edu

Поступила в редакцию 15.02.2011 г.

С помощью компьютерного моделирования исследована локализация изолированной OH<sup>-</sup>-группы в неполярной фазе кристаллов титаната бария, проведен анализ локальных деформаций кристаллической решетки. Показано, что присутствие OH<sup>-</sup>-группы приводит к возникновению поляризованного кластера с достаточно большим электрическим дипольным моментом.

### ВВЕДЕНИЕ

Хорошо известно, что в процессе синтеза сегнетоэлектриков семейства  $ABO_3$  и особенно после ростового высокотемпературного отжига в атмосфере водорода (или паров воды) ионы H<sup>+</sup> внедряются в структуру кристалла и формируют OH<sup>-</sup>-группы [1]. Присутствие OH<sup>-</sup>-групп в сегнетоэлектрических материалах определяет многие особенности их физических свойств и сильно влияет на электрическую проводимость [2]. Проделание послеростовых обработок приводит в первую очередь к внедрению водорода в приповерхностный слой кристалла и, следовательно, к изменению физических свойств поверхности кристалла. Однако существует мнение, что присутствие водорода в перовскитах приводит и к частичной потере объемной поляризации [3]. Наибольший практический интерес представляет, конечно, информация о влиянии OH<sup>-</sup>-групп на свойства кристаллов семейства  $ABO_3$  в сегнетоэлектрической фазе, но для многих сегнетоэлектриков со структурой перовскита нет однозначности и в принципиальном вопросе о локализа-

ции ионов H<sup>+</sup> в более простой неполярной кубической фазе.

При обобщении известной информации о локализации ионов H<sup>+</sup> в кубической фазе титанатов и цирконатов семейства  $ABO_3$  ( $A = \text{Ca}, \text{Sr}, \text{Ba}, \text{Pb}$ ;  $B = \text{Ti}, \text{Zr}$ ) можно выделить следующие модели:

а) модель, предполагающая ориентацию дипольного момента OH<sup>-</sup>-группы  $\mathbf{p}_{\text{OH}}$  вдоль граней октаэдра  $BO_6$  [4–7];

б) модель, предполагающая ориентацию  $\mathbf{p}_{\text{OH}}$  вдоль связей O–A в плоскости грани кубической элементарной ячейки [8, 9];

в) модель, предполагающая ориентацию  $\mathbf{p}_{\text{OH}}$  вдоль биссектрисы угла A–O–A в плоскости грани кубической элементарной ячейки [3, 10].

Соответствующие позиции ионов H<sup>+</sup> схематически представлены на рис. 1.

Из-за особенностей кристаллической структуры параэлектрической фазы титанатов и цирконатов семейства  $ABO_3$  основной экспериментальный метод изучения локализации OH<sup>-</sup>-групп – исследование инфракрасного поглощения с использованием поляризованного излучения [1]

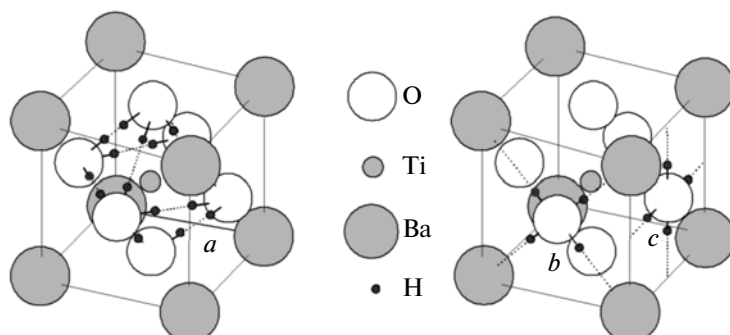


Рис. 1. Возможные позиции водорода в структуре BaTiO<sub>3</sub>.

крайне малоинформативен. Поэтому основная информация о локализации  $\text{OH}^-$ -групп в этих объектах получена при помощи компьютерного моделирования, в том числе с применением подходов *ab initio*. Моделирование структуры и распределения электронной плотности в кубической фазе кристалла  $\text{PbTiO}_3$  в присутствии иона  $\text{H}^+$  (метод псевдопотенциала) проведено в [3]. При рассмотрении ряда возможных высокосимметрических позиций ионов  $\text{H}^+$  в элементарной ячейке кристалла, отвечающих моделям а, б и в, было показано, что энергетически выгодными являются позиции, соответствующие модели в. Эта модель подтверждается и в [11, 12], где расчеты проводились методом функционала плотности.

Моделирование локализации ионов  $\text{H}^+$  в структуре кристаллов семейства  $\text{ABO}_3$  обычно проводится без учета локальных деформаций ближайшего кристаллического окружения [3, 10–13]. Однако возникновение  $\text{OH}^-$ -группы должно сопровождаться деформацией структуры и приводить к возникновению кластера с ненулевым дипольным электрическим моментом. Предполагается, что подобные кластеры могут отвечать и за смешанный характер высокотемпературного fazового перехода в  $\text{BaTiO}_3$ , и за наличие различных аномалий в его окрестности [14], но процесс возникновения таких кластеров до настоящего времени исследован недостаточно. Поэтому основной целью данной работы является анализ локальных искажений кристаллической структуры  $\text{BaTiO}_3$  в окрестности изолированной  $\text{OH}^-$ -группы и оценка дипольного момента возникающего кластера.

### ПРЕДВАРИТЕЛЬНЫЙ АНАЛИЗ ЛОКАЛИЗАЦИИ ИЗОЛИРОВАННОЙ $\text{OH}^-$ ГРУППЫ

В отличие от [3, 10–13], рассмотренных ранее, для моделирования локализации изолированной  $\text{OH}^-$ -группы и анализа локальных деформаций, вызванных внедрением иона  $\text{H}^+$  в структуру  $\text{BaTiO}_3$ , использовался подход, основанный на применении электростатической модели кубической фазы этого кристалла, предложенной в [15].

Присутствие иона  $\text{H}^+$  из-за потери кубической симметрии приводит к возникновению отличных от нуля дипольных моментов окружающих ионов, которые существенно меняют картину пространственного распределения внутрикристаллического поля  $\mathbf{E}_{loc}$  в ближайшей окрестности сформировавшейся  $\text{OH}^-$ -группы. Поэтому в предположении, что длина связи  $\text{O}-\text{H}$  составляет 0.098 нм [1], для всех вероятных позиций локализации иона  $\text{H}^+$  (рис. 1) выполнены самосогласованные расчеты электростатиче-

ского потенциала, проведенные по следующему алгоритму:

- выполняется расчет напряженности электрического поля, вызванного возникновением  $\text{OH}^-$ -группы на ионах, расположенных на расстоянии менее 1.1 нм от иона кислорода, входящего в  $\text{OH}^-$ -группу ( $\text{O}_{\text{OH}}$ ), и определяются дипольные моменты соответствующих ионов;

- итерационным методом (15 итераций) учитывается взаимное влияние дипольных моментов ионов в выделенной сфере;

- рассчитывается кулоновский потенциал в точке локализации иона  $\text{H}^+$  с учетом поля, создаваемого индуцированными дипольными моментами ионов.

Использовался следующий набор электрических характеристик ионов, входящих в состав кристалла:  $q_{\text{Ba}} = 1.984|e|$ ,  $\alpha_{\text{Ba}} = 2.269 \times 10^{-24} \text{ см}^3$ ,  $q_{\text{Ti}} = 2.234|e|$ ,  $\alpha_{\text{Ti}} = 0.75 \times 10^{-24} \text{ см}^3$ ,  $q_{\text{O}} = -1.406|e|$ ,  $\alpha_{\text{O}} = 1.90 \times 10^{-24} \text{ см}^3$ , где  $q_{\text{Ba}}$ ,  $q_{\text{Ti}}$  и  $q_{\text{O}}$  — эффективные заряды соответствующих ионов,  $\alpha_{\text{Ba}}$ ,  $\alpha_{\text{Ti}}$  и  $\alpha_{\text{O}}$  — их дипольная электронная поляризуемость,  $|e|$  — абсолютное значение заряда электрона [15]. В расчетах учитывалось, что из-за локального перераспределения заряда в пределах  $\text{OH}^-$ -группы эффективный заряд  $\text{H}^+$  составляет величину  $+0.4|e|$  [16], а эффективный заряд соответствующего иона кислорода принимался равным  $-0.806|e|$ . Для обеспечения сходимости результатов расчета потенциала и напряженности внутрикристаллического электрического поля использовался метод переходной области [17].

Расчеты электростатического потенциала в позиции ионов  $\text{H}^+$ , выполненные при перемещении иона  $\text{H}^+$  по поверхности сферы радиусом 0.098 нм с центром, совпадающим с позицией выделенного иона кислорода, показали, что точки, отвечающие позициям ионов  $\text{H}^+$  типа в, являются точками минимума кулоновского потенциала и, следовательно, точками предпочтительной локализации ионов  $\text{H}^+$ . Этот вывод полностью согласуется с результатами расчетов, выполненных с применением подхода *ab initio* в кубической фазе кристаллов  $\text{PbTiO}_3$  [3] и  $\text{BaZrO}_3$  [11, 12]. Отметим, что использование других возможных наборов электрических характеристик ионов, рассматриваемых в [15], качественно не влияет на результаты расчетов. Таким образом, именно эти позиции нужно рассматривать как предпочтительные стартовые при исследовании процессов релаксации структуры к равновесному состоянию.

Наборы параметров потенциала БМХ для BaTiO<sub>3</sub> и результаты расчета равновесной постоянной решетки  $a_0$  и объемного модуля упругости  $B$  с использованием формальных зарядов ионов (**ФЗИ**) и значений зарядов, полученных в [15]

Параметры потенциала БМХ							Литера-тура	Результаты расчета				
(Ba–O)		(Ti–O)		(O–O)				ФЗИ		[15]		
$A$ , эВ	$\rho$ , Å	$A$ , эВ	$\rho$ , Å	$A$ , эВ	$\rho$ , Å	$C$ , эВ Å <sup>-6</sup>		$a_0$ , Å	$B$ , ГПа	$a_0$ , Å	$B$ , ГПа	
1215	0.3522	877.2	0.3809	22764.3	0.1490	27.88	[18]	4.0291	182.6	4.667	64.25	
4818.4	0.3067	2549.4	0.2989	9547.9	0.2192	32	[19]	4.0227	265.3	4.476	107.3	
16253	0.269	5606.6	0.254	897.41	0.3360	0	[20]	3.9987	333.8	4.359	139.7	
29325	0.2401	4569	0.2607	4074	0.2746	0	[21]	3.8723	379.4	4.231	152.4	
20000	0.2401	11500	0.220	8547	0.219	0	*			4.007	189	
Экспериментальные значения $a_0$ и $B$								4.007	180	4.007	180	

\* Оригинальные данные.

## РЕЛАКСАЦИЯ КРИСТАЛЛИЧЕСКОЙ СТРУКТУРЫ BaTiO<sub>3</sub> В ОКРЕСТНОСТИ ОН<sup>-</sup> ГРУППЫ

В используемой электростатической модели структуры кристалла выражение, описывающее полную энергию  $k$ -го иона  $i$ -го сорта ( $W_i$ ) <sub>$k$</sub> , без учета тепловых колебаний имеет следующий вид:

$$(W_i)_k = q_i \cdot \Phi_k - \mathbf{p}_k \cdot \mathbf{E}_k + (W_r)_k, \quad (1)$$

где  $\mathbf{p}_k = \alpha_i \mathbf{E}_k$  – индуцированный электрический дипольный момент иона;  $q_i$  и  $\alpha_i$  – соответственно эффективный заряд иона и его дипольная электронная поляризуемость;  $\Phi_k$  и  $\mathbf{E}_k$  – потенциал и напряженность внутрикристаллического электрического поля;  $(W_r)_k$  – энергия отталкивания.

Энергия межионного отталкивания  $W_r$  в кристаллах с ионной или ионно-ковалентной связью обычно описывается потенциалом Борна–Майера–Хаггинса (БМХ), который также называют потенциалом Букингема:

$$W_r = A_{ij} \exp(-r/\rho_{ij}) - C_{ij}/r_{ij}^6, \quad (2)$$

где  $A_{ij}$ ,  $\rho_{ij}$ , и  $C_{ij}$  – параметры потенциала,  $r_{ij}$  – межионное расстояние. Известная информация о параметрах потенциала БМХ для ионов, входящих в состав BaTiO<sub>3</sub>, противоречива и неоднозначна. В таблице представлены некоторые из известных наборов этих параметров.

Для кристаллов с кубической симметрией проверка применимости подобных наборов проводится достаточно просто – путем расчета равновесной постоянной решетки  $a_0$  и модуля всестороннего объемного сжатия  $B$  (без учета тепловых колебаний решетки). Результаты расчета этих параметров, полученные при использовании как формальных значений зарядов ионов, так и одного из наборов эффективных зарядов ионов, полученных в [15], также представлены в таблице.

Видно, что ни одна из известных комбинаций параметров потенциала БМХ не отвечает критериям проверки для наиболее вероятного набора эффективных зарядов ионов.

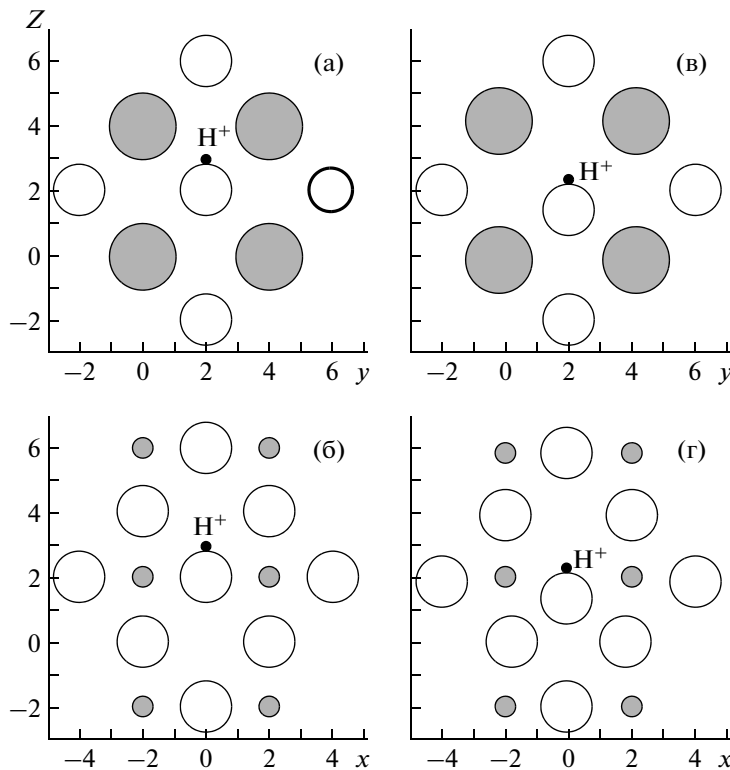
Известно, что по крайней мере один из параметров потенциала отталкивания ( $A$ ) зависит от зарядового состояния взаимодействующих ионов [22–24], поэтому проведен поиск таких комбинаций параметров потенциала БМХ, которые удовлетворяют критериям проверки для второго из наборов зарядов и не противоречат известной информации. Одна из таких комбинаций приведена в таблице. В дальнейших расчетах учитывалось и отталкивание между ионом H<sup>+</sup>, входящим в OH<sup>-</sup> группу (H<sub>OH</sub>), и окружающими ионами кислорода. При этом принималось, что параметры потенциала отталкивания для взаимодействия H<sub>OH</sub>–O составляют  $A = 396$  эВ,  $\rho = 0.250$  Å [16], а параметр  $A$  для взаимодействия O<sub>OH</sub> с другими ионами уменьшается в среднем в 1.3 раза.

В рамках используемой модели сила  $F_i$ , действующая на выделенный ион в направлении  $i$ , может быть представлена в виде:

$$F_i = q_{eff} E_i - \sum_{j=x,y,z} p_j V_{ij} + (\mathbf{F}_r)_i, \quad (3)$$

где  $q_{eff}$  – эффективный заряд иона;  $E_i$  –  $i$ -я компонента внутрикристаллического электрического поля;  $p_j$  –  $j$ -я компонента электрического дипольного момента иона;  $V_{ij}$  – компоненты тензора градиента электрического поля в центре дипольного момента иона;  $(\mathbf{F}_r)_i$  –  $i$ -я компонента силы межионного отталкивания;  $i, j = x, y, z$ .

Ограниченные возможности персонального компьютера не дают возможности проводить расчеты искажений структуры на больших расстояниях от дефекта, поэтому учитывалось изменение  $\mathbf{E}_{loc}$  на ионах, входящих в сферу радиусом  $R_1 = 11$  Å с центром в точке расположения кислорода



**Рис. 2.** Две проекции структуры  $\text{BaTiO}_3$  в окрестности локализации  $\text{OH}^-$ -группы: до (а, б) и после (в, г) завершения процесса релаксации. Ионы обозначены, как на рис. 1.

в составе  $\text{OH}^-$ -группы (462 иона). При этом рассматривалось смещение как  $\text{OH}^-$ -группы, так и 74 ионов (включая 12 ионов  $\text{Ba}$  и 20 ионов  $\text{Ti}$ ), которые локализованы в концентрической сфере радиусом 6.08 Å. Ионы, расположенные на расстояниях  $r > R_1$ , рассматривались как точечные заряды с нулевым дипольным моментом. Алгоритм расчета равновесных позиций ионов, окружающих  $\text{OH}^-$ -группу, сводился к следующему.

– Рассчитываются напряженность электрического поля на ионах и градиент электрического поля в центрах индуцированных дипольных моментов ионов; при помощи (3) определяются результирующая сила, действующая на ионы ближайшего окружения  $\text{OH}^-$ -группы, и врачающий момент, действующий на  $\text{OH}^-$ -группу.

– Рассматриваемые ионы, включая  $\text{O}_{\text{ОН}}$ , сдвигаются на расстояние, пропорциональное результирующей силе, действующей на ион, и обратно пропорциональное массе иона, а  $\text{OH}^-$ -группа поворачивается на угол, пропорциональный моменту силы, действующему на  $\text{OH}^-$ -группу.

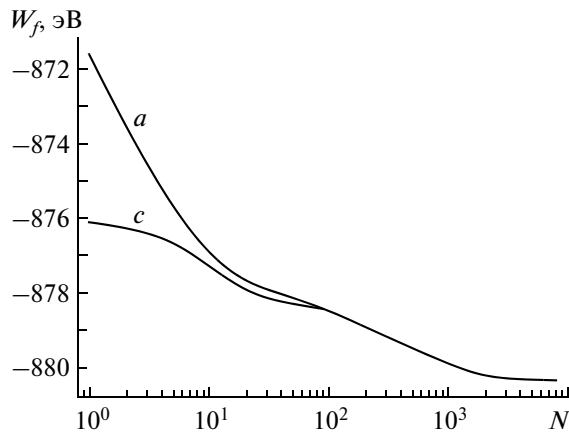
– Проводятся перерасчет параметров  $E_{loc}$  на смещенных ионах и параметров тензора градиента электрического поля в центрах индуцированных дипольных моментов и повторное определение

результирующей силы, действующей на каждый ион.

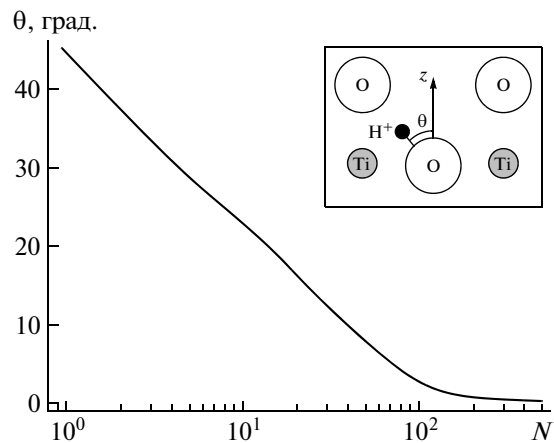
– Далее проходит обычная итерационная процедура по смещениям ионов – до тех пор, пока смещающиеся ионы не займут условно равновесные положения (модуль результирующей силы, действующей на любой из выделенных ионов, меньше 2-х % начального значения).

Наиболее показательным является процесс установления равновесной структуры в случае, когда исходная конфигурация системы отвечает модели в. На рис. 2 изображены две проекции структуры кристалла в окрестности  $\text{OH}^-$ -группы: до и после завершения релаксационного процесса, а сам процесс смещения  $\text{OH}^-$ -группы является монотонным. На рис. 3 представлена зависимость энергии выделенного фрагмента структуры  $W_f$  (462 иона) от количества итераций по смещению ( $N$ ).

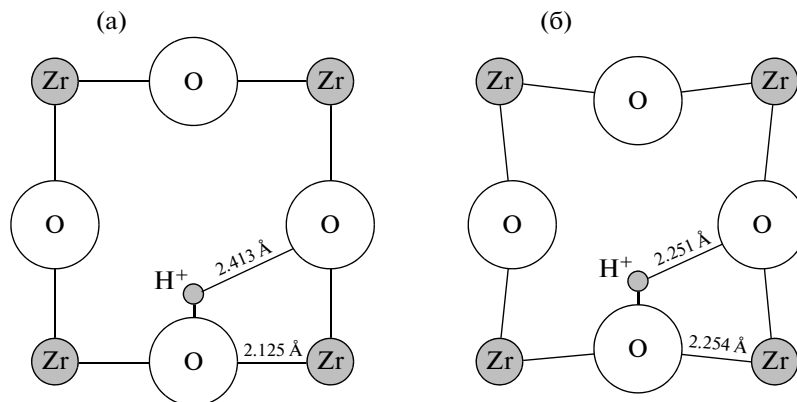
На следующем этапе исследован процесс релаксации структуры кристалла в случаях, когда исходная ориентация  $\text{OH}^-$ -группы отвечает моделям а или б. Установлено, что при начальной конфигурации системы, отвечающей модели а, равновесная структура принимает вид, представленный на рис. 2, но сам процесс релаксации имеет ряд особенностей. В частности, на начальном этапе процесса происходит быстрая переори-



**Рис. 3.** Зависимость энергии  $W_f$  выделенного фрагмента структуры от числа итераций  $N$  для исходных позиций  $\text{H}^+$ , согласно моделям а и в.



**Рис. 4.** Зависимость угла между  $\mathbf{p}_{\text{OH}}$  и осью  $z$  ( $\theta$ ) от числа итераций. Исходная позиция  $\text{H}^+$  соответствует модели а и иллюстрируется внутренним рисунком.



**Рис. 5.** Локальные искажения структуры кристалла  $\text{BaZrO}_3$   $\text{OH}^-$ -группой, согласно [12]: а – стартовая конфигурация; б – после завершения процесса релаксации. Указаны некоторые межионные расстояния.

ентация  $\text{OH}^-$ -группы, что в первую очередь обусловлено асимметрией кулоновского взаимодействия иона  $\text{H}^+$  с ближайшими ионами титана. На рис. 3 представлена зависимость энергии выделенного кластера от количества итераций по смещению, а соответствующая зависимость угла  $\theta$  между  $\mathbf{p}_{\text{OH}}$  и осью  $z$  кристалла – на рис. 4.

К сожалению, не смогли найти сведений о параметрах потенциала БМХ для взаимодействия  $\text{H}_{\text{OH}}^+ - \text{Ba}^{2+}$ , и это взаимодействие в расчетах не учитывалось. Пренебрежение этим фактором несущественно для анализа динамики структуры по моделям а и в, однако принципиальным образом сказывается на результатах моделирования для исходной конфигурации б. В последнем случае из-за симметрии исходного положения переориентация  $\text{OH}^-$ -группы на начальном этапе происходит очень медленно, но из-за пренебрежения “центрирующим” взаимодействием  $\text{H}_{\text{OH}}^+ - \text{Ba}^{2+}$  при достижении положения с  $\theta = 0^\circ$  вращение

продолжается. При дальнейшем увеличении числа итераций наблюдается квазипериодическое вращение  $\mathbf{p}_{\text{OH}}$  в плоскости  $yz$ , сопровождаемое очень медленным уменьшением энергии системы (порядка 0.01 эВ за один оборот  $\text{OH}^-$ -группы). Наиболее вероятная причина появления такого эффекта – пренебрежение взаимодействиями отталкивания между  $\text{H}^+$  и ионами  $\text{Ba}^{2+}$ , но сведения о параметрах потенциала БМХ для этого взаимодействия в литературе отсутствуют.

Установленная ранее равновесная конфигурация расположения ионов в окрестности  $\text{OH}^-$ -группы существенно отличается от конфигурации, полученной при моделировании деформации кристаллической решетки кристалла  $\text{BaZrO}_3$  изолированной  $\text{OH}^-$ -группой, выполненного на основании подхода *ab initio* [12]. Согласно [12],  $\text{OH}^-$ -группа сдвигается в направлении, совпадающем с направлением  $\mathbf{p}_{\text{OH}}$  (рис. 5), в данном случае наблюдается противоположный эффект

(рис. 2). Есть два аргумента в пользу полученных результатов. Во-первых, сила кулоновского взаимодействия иона  $H^+$  с двумя ближайшими ионами  $Va^{2+}$  по модулю больше, чем с двумя ближайшими ионами кислорода из-за различия в абсолютной величине эффективных зарядов этих ионов. Во-вторых, к сдвигу  $OH^-$ -группы “вниз” приводят и взаимодействия отталкивания между ионом  $H^+$  и ближайшими ионами кислорода и бария.

Для установленной равновесной конфигурации расположения ионов в окрестности  $OH^-$ -группы несложно рассчитать электрический дипольный момент сформированного кластера. Согласно расчетам, абсолютное значение  $\rho_{on}$  составляет  $5 \times 10^{-29}$  Кл м, что существенно больше дипольного момента изолированной  $OH^-$ -группы.

### ЗАКЛЮЧЕНИЕ

Хорошо известно, что значение объемной концентрации  $OH^-$ -групп  $n$  в сегнетоэлектриках семейства  $ABO_3$  (не подвергавшихся специальной обработке) невелико:  $n \approx 10^{19} \text{ см}^{-3}$  [1]. Поэтому даже при условии полного упорядочения подсистемы кластеров рассмотренного типа остаточная спонтанная поляризация  $BaTiO_3$  в кубической фазе мала и не превысит значения  $5 \times 10^{-4}$  Кл/м<sup>2</sup>, а размеры самих кластеров существенно меньше ожидаемой величины [25]. Однако при моделировании искажений структуры  $OH^-$ -группой обычно не рассматривается такой принципиальный момент, как выполнение условия локальной электронейтральности кристалла. Один из вариантов компенсации по заряду – возникновение полярона  $Ti^{3+}$  непосредственно рядом с  $OH^-$ -группой. Очевидно, что локальные искажения структуры при этом будут принципиально другими. По предварительной оценке размеры такого дефектного кластера и его дипольный момент должны быть существенно больше, и, вероятно, подобные комплексы могут являться зародышами полярной фазы.

### СПИСОК ЛИТЕРАТУРЫ

1. Wöhlecke M., Kovács L. // Crit. Rev. Solid State Mater. Sci. 2001. V. 25. P. 1.
2. Buse K. // Appl. Phys. B. 1997. V. 64. P. 391.
3. Park C.H., Chadi D.J. // Phys. Rev. Lett. 2000. V. 84. P. 4717.
4. Weber G., Kapphan S., Wöhlecke M. // Phys. Rev. B. 1986. V. 34. P. 8406.
5. Yi G.-C., Block B., Wessels B. // Appl. Phys. Lett. 1997. V. 71. P. 327.
6. Matsuo S., Yugami H., Ishigame M. // Phys. Rev. B. 2001. V. 64. P. 024302.
7. Sata S., Hiramoto K., Ishigame M. et al. // Phys. Rev. B. 1996. V. 54. P. 15795.
8. Jandl S., Houde D., Lepine Y., Brebner J. // Ferroelectrics. 1981. V. 38. P. 805.
9. Houde D., Lépine Y., Pépin C. et al. // Phys. Rev. B. 1987. V. 35. P. 4948.
10. Brebner J., Jandl S., Lépine Y. // Phys. Rev. B. 1981. V. 23. P. 3816.
11. Björketun M., Sundell P., Wahnström G. // Phys. Rev. B. 2007. V. 76. P.05307.
12. Sundell P., Björketun M., Wahnström G. // Phys. Rev. B. 2007. V.76. P. 094301.
13. Stashans A., Chimborazo J. // Phil. Mag. B. 2002. V. 82. P. 1145.
14. Takagi M., Ishidate T. // Solid State Commun. 2000. V. 113. P. 423.
15. Яценко А.А., Яценко А.В. // Кристаллография. 2009. Т. 54. № 3. С. 532.
16. De Leeuw N.H., Parker S.C., Catlow C.R.A., Price G.D. // Phys. Chem. Minerals. 2000. V. 27. P. 332.
17. Яценко А.В. // Кристаллография. 2000. Т. 45. № 1. С. 139.
18. Levis G.V., Catlow C.R.A. // J. Phys. Chem. Solids. 1986. V. 47. P. 89.
19. Pirovano C., Islam M., Vannier R. et al. // Solid State Ionics. 2001. V. 140. P. 115.
20. Kunz M., Armbruster T. // Acta Cryst. B. 1992. V. 48. P. 609.
21. Post J., Burnham C. // Am. Mineral. 1986. V. 71. P. 142.
22. Bosenick A., Dove M.T., Geiger C.A. // Phys. Chem. Minerals. 2000. V. 27. P. 398.
23. De Leeuw N.H., Parker S.C., Catlow C.R.A., Price G.D. // Phys. Chem. Minerals. 2000. V. 27. P. 332.
24. Fukushima K., Okamoto Y., Iwadate Y. // J. Non-Cryst. Solids. 2002. V. 312. P. 428.
25. Bak W., Kajtoch C., Starzyk F., Zmija J. // Arch. Mater. Sci. Eng. 2008. V. 33 P. 79.